

# 掺 Pb 的 Bi-Sr-Ca-Cu-O 高 $T_c$ 超导体系的红外光谱\*

钟丽云 蔡继业 汤洪高

孙玉萍 杜家驹

(中国科学院安徽光学精密机械研究所, 合肥 230031) (中国科学院固体物理研究所, 合肥 230031)

**关键词** 高  $T_c$  超导体、Bi(Pb)-Sr-Ca-Cu-O 体系、红外光谱

## 一、引言

高温超导 Y-Ba-Cu-O 体系的反射吸收谱、拉曼光谱和荧光谱等<sup>[1]</sup>光谱研究已获得了不少关于超导体能带结构、振动态密度和电子-声子耦合强度等信息。非稀土高温氧化物超导体系 Bi-Sr-Ca-Cu-O 的发现<sup>[2]</sup>为高温氧化物超导体的研究指出了一个新的探索方向。人们通过部分元素替代的方法, 成功地改善了 Bi 系氧化物超导体的性能, 零电阻从 20K 提高到 80K, 目前达到 110K。这个体系有三个超导相, 即  $\text{Bi}_2\text{Sr}_2\text{CuO}_6$ (221) 相、 $\text{Bi}_2\text{Sr}_2\text{CaCu}_2\text{O}_8$ (2212) 相和  $\text{Bi}_2\text{Sr}_2\text{Ca}_2\text{Cu}_3\text{O}_{10}$ (2223) 相, 它们分别对出现 20K、80K 和 110K 的超导电性负责。目前对于(2212)相的拉曼光谱<sup>[3]</sup>、红外光谱<sup>[4]</sup>的研究已有报道, 但对于掺 Pb 的高温超导(2223)相的光谱研究却很少。我们用正二价的 Pb 替代多价态的 Bi (正三价、四价、五价), 使得 Bi-Sr-Ca-Cu-O 体系出现高温相 ( $T_c = 110\text{K}$ ), Pb 的掺杂使该体系结构和性能发生变化。本文研究了掺 Pb 的 Bi-Sr-Ca-Cu-O 体系单相( $T_c = 107\text{K}$ )、混合相( $T_c = 110\text{K}$ )和非超导样品在室温下 400—1800cm<sup>-1</sup> 范围的红外光谱, 发现(2223)相的红外光谱与(2212)相在该区域的红外光谱非常相似, 证明了两者在结构上的相似, 对其谱带的指认发现 Pb 的掺杂使(2223)相谱带向低频方向移动。超导体系与非超导体系具有完全不同的谱图特征, 反映了晶体结构的明显差别, 在混合相中出现双声子效应。

## 二、样品制备及实验方法

样品的制备采用硝酸盐加热分解进行制粉。将高纯粉末  $\text{Bi}_2\text{O}_3$ 、 $\text{PbO}$ 、 $\text{SrCO}_3$ 、 $\text{CaCO}_3$  和  $\text{CuO}$  按一定比例混合溶于硝酸, 将溶液烘干后在空气中 800℃恒温 12h, 使硝酸盐分解成粉末, 将粉末研碎压片在空气中 850℃烧结 24h, 再进行研碎压片, 在空气中 850℃烧结 120h, 降温采用先  $\text{LN}_2$  泼火, 然后在 800℃空气中退火 24h。

电阻测量采用四引线接法, 交流磁化率测量采用交流互感电场法, 样品在 Philips PW-1700X 光衍射仪上作物相分析 (Cu-K $\alpha$  射线)。单相、混合相和非超导样品的名义组成为  $\text{Bi}_{1.8}\text{Pb}_{0.4}\text{Sr}_{1.9}\text{Ca}_{2.2}\text{Cu}_{3.1}\text{O}_{10+y}$ 、 $\text{Bi}_{1.84}\text{Pb}_{0.34}\text{Sr}_{1.91}\text{Ca}_{2.03}\text{Cu}_{3.06}\text{O}_{10+y}$ 、 $\text{Bi}_{1.9}\text{Pb}_{0.3}\text{Sr}_{1.9}\text{Ca}_{2.04}\text{Cu}_{3.1}\text{O}_{10+y}$ , 样品

本文 1990 年 3 月 20 日收到。

\* 国家自然科学基金资助项目。

用 KBr 压片制备后用 Nicolet 50X 傅里叶红外光谱仪测量, 频率范围为  $400\text{--}1800\text{cm}^{-1}$ , 测试温度均为室温。

### 三、实验结果及讨论

Bi-Sr-Ca-Cu-O 体系(2212)相和(2223)相的晶体结构已由 X 射线衍射和中子衍射实验给出<sup>[5,6]</sup>, 它们都属于四方晶系  $I4/mmm$  空间群, 每个原胞分别有 15 和 19 个原子, 它们都是层状结构并且沿[001]方向堆垛,(2223)相比(2212)相多一个  $\text{CuO}_2$  和一个 Ca 原子层, 两个相的晶胞参数  $a, b$  相同, 约为  $5.4\text{\AA}$ ,  $c$  轴不同, 分别为  $30.7\text{\AA}$  和  $37\text{\AA}$ 。两种结构晶格振动的简正模分析表明<sup>[7]</sup>: (2212) 相有 14 个红外模 ( $6\text{A}_{1g} + \text{B}_{1g} + 7\text{E}_g$ ), (2223) 相有 20 个红外模 ( $8\text{A}_{1g} + 2\text{B}_{1g} + 10\text{E}_g$ ), 可以看出两者的振动模式相似, 实验结果确实如此。我们对比(2212)相的红外光谱对(2223)相的谱峰进行指认。

图 1 是(2223)单相在  $400\text{--}1800\text{cm}^{-1}$  范围的红外光谱, 对比(2212)单相在该区域的红外光谱<sup>[4]</sup>, 我们认为在(2223)相中,  $605, 446\text{cm}^{-1}$  的吸收峰分别与 Cu-O 及 Bi-O 的伸缩振动有关, 这个指认与 Cu—O 键长  $0.191\text{nm}$ <sup>[7]</sup> 相符, Bi—O 键长  $0.271\text{nm}$ <sup>[7]</sup> 应产生  $470\text{cm}^{-1}$  的吸收峰, 由于  $\text{Pb}^{2+}$  的原子半径  $1.19\text{\AA}$  (六配位) 大于  $\text{Bi}^{3+}$  的原子半径  $1.03\text{\AA}$  (六配位), Pb 替代使 Bi(Pb)—O 键长增大, 因此吸收峰向低频移动产生  $446\text{cm}^{-1}$  的谱峰。 $405\text{cm}^{-1}$  吸收峰与 Cu-O 及 Bi-O 面内 Cu-O 和 Bi-O 的弯曲振动有关, 它与  $\text{YBa}_2\text{Cu}_3\text{O}_x$  中的  $410\text{cm}^{-1}$  峰相似。

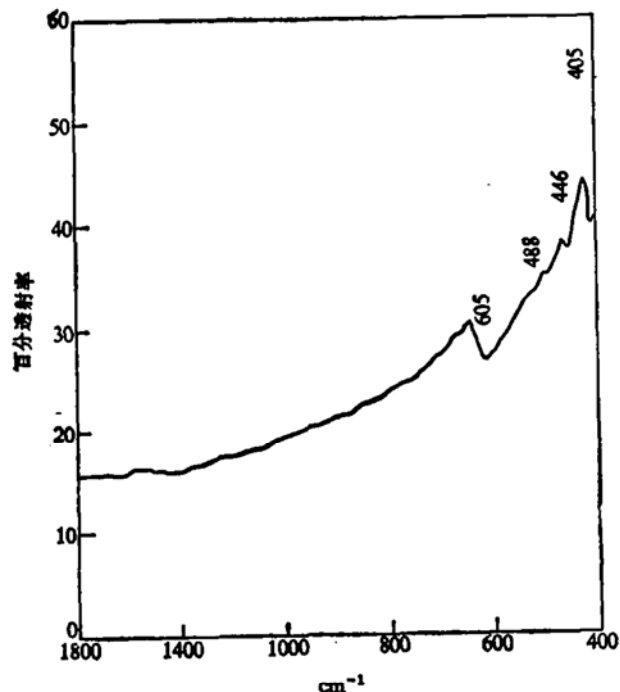


图 1

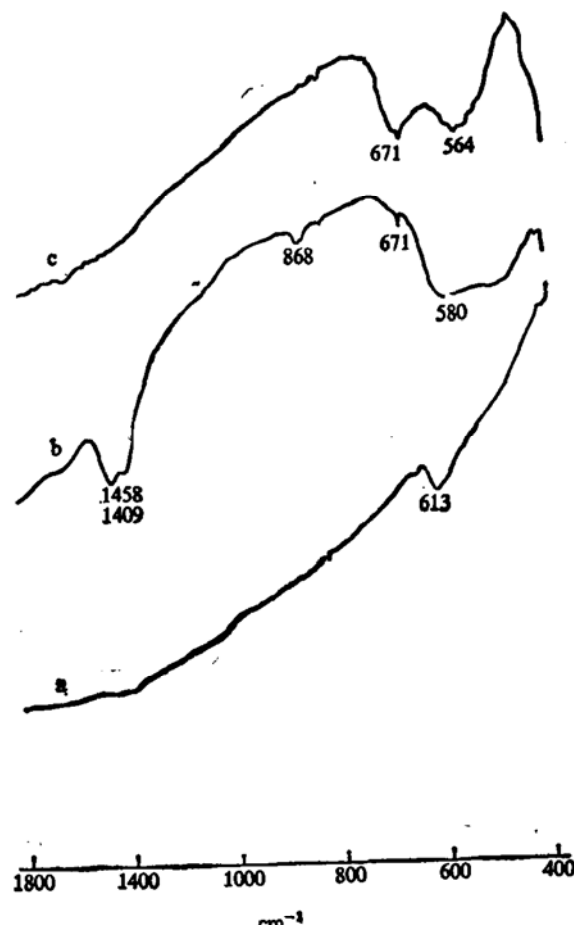


图 2

Stavola<sup>[1]</sup> 及 Cardona<sup>[2]</sup> 等在(2212)相的拉曼光谱中发现了沿  $c$  轴对称的 Bi-O-Cu-O-Bi 峰，其频率约为  $480\text{cm}^{-1}$ ，但未发现与之相应的红外峰。我们在(2223)相的红外谱中发现了这个较弱的谱峰，即沿  $c$  轴反对称振动的 Bi-O-Cu-O-Bi 峰，它之所以能出现可能是由于 Pb 取代部分 Bi 使此峰增强不致于被较宽的  $605\text{cm}^{-1}$  的吸收峰掩盖。

如图 2 所示，超导样品与非超导样品最明显的区别发生在  $500-700\text{cm}^{-1}$  区域，在该区域 1# 样品(单相)只有一个吸收峰 ( $613\text{cm}^{-1}$ )，而 2#(混合相)和 3#(非超导) 样品在该区域出现两个吸收峰，且 3# 样品的吸收峰较 2# 增强，我们有理由认为  $671.564\text{cm}^{-1}$  两个吸收峰可能与非超导相相关。由图 2b 可看出，2# 样在高频区域的吸收峰  $1458, 1409, 867\text{cm}^{-1}$  不可能来源于 Bi(Pb)-Sr-Ca-Cu-O 本身的振动，这些高于  $800\text{cm}^{-1}$  的吸收峰应该来源于较轻原子的振动模式，由于 Bi(Pb)-Sr-Ca-Cu-O 系列样品的红外吸收峰依赖于 Pb 的掺杂、高频吸收峰可能来源于残余 Pb 的吸收。混合相中  $1459, 867\text{cm}^{-1}$  吸收峰是特别的，它们不出现在(2212)、(2223) 相和非超导样品中， $1459\text{cm}^{-1}$  吸收峰可能是双声子效应，可能是  $807\text{cm}^{-1}$  和  $580$  两个声子的吸收。

### 参 考 文 献

- [1] Stavola, M. et al., *Phys. Rev.*, **B36**(1987), 1: 850.
- [2] Michel, C., Hervieu, M. et al., *J. Phys.*, **B68**(1987), 421.
- [3] Sapriel, J., Pierre, L. et al., *Phys. Rev.*, **B39**(1989), 1: 339.
- [4] Oscar, E. et al., *Phys. Rev.*, **B39** (1989), 10: 7255.
- [5] Sunshine, S. A. et al., *Phys. Rev.*, **B38**(1988), 1: 893.
- [6] Tarason, J. M. et al., *Phys. Rev.*, **B37**(1988), 16: 9382.
- [7] Stavola, M. et al., *Phys. Rev.*, **B38**(1988), 7: 5110.
- [8] Cardone, M. et al., *Solid State Commun.*, **66**(1988), 12: 1225.